

ΓΕΩΛΟΓΙΑ.—Παρατηρήσεις ἐπὶ τῶν συνθηκῶν σχηματισμοῦ τῶν ἀνθρακικῶν πετρωμάτων τοῦ ἀνωτ. Καμπανίου - ἀνωτ. Μαιστριχτίου εἰς τὴν ζώνην Παρνασσοῦ - Γκιώνας, ὑπὸ Σ. Ε. Παπασταύρου* Ἀνεκοινώθη ὑπὸ τοῦ Ἀκαδημαϊκοῦ κ. Ἰω. Τρικαλινοῦ.

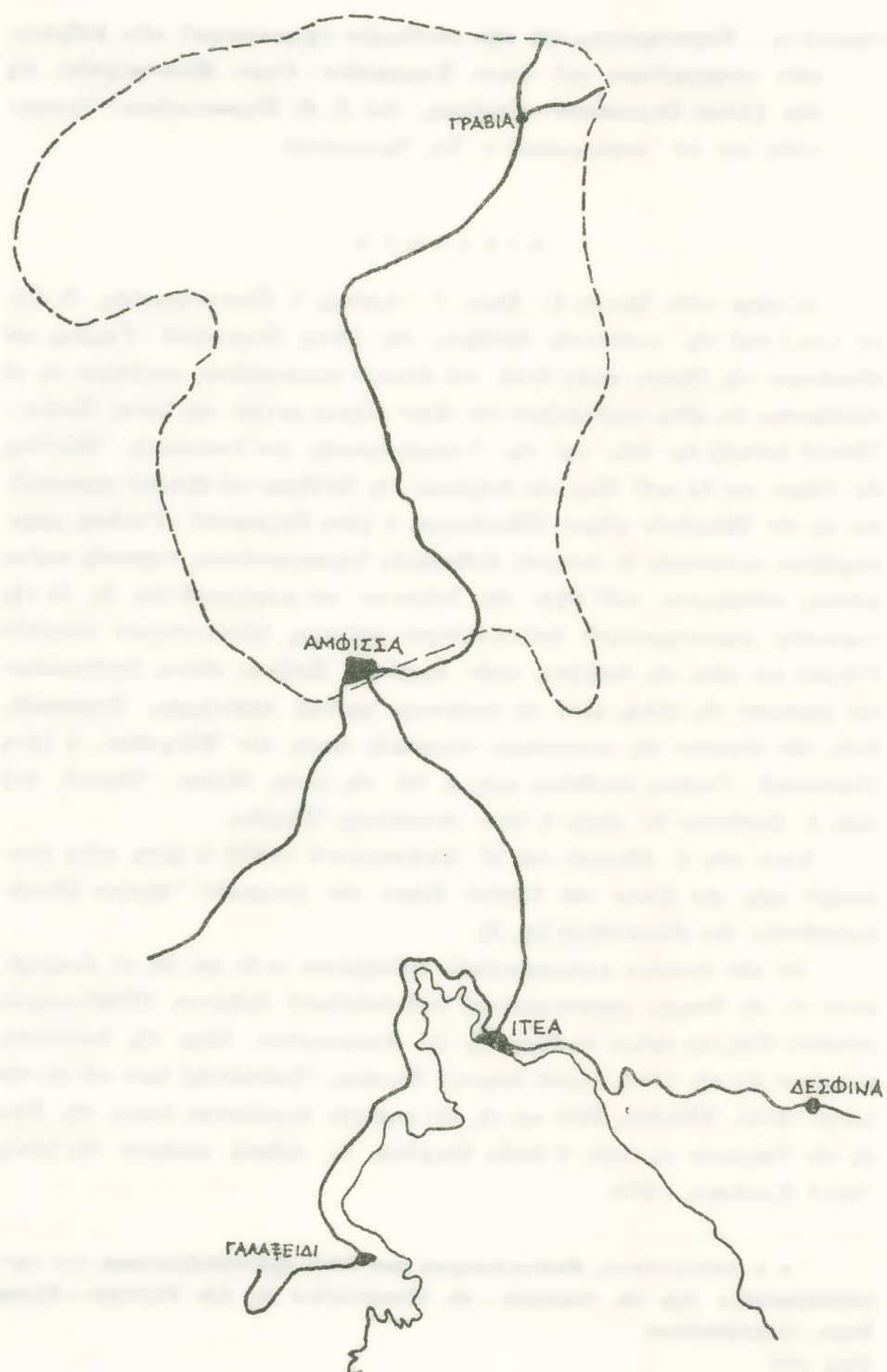
Ε Ι Σ Α Γ Ω Γ Η

Αἱ μέχρι τοῦδε ἔρευναι (C. Renz, Γ. Ἀρόνης, I. Παπασταματίου, P. Cestlet κ.λπ.) περὶ τῆς γεωλογικῆς ἔξελιξεως τῆς ζώνης Παρνασσοῦ - Γκιώνας καὶ εἰδικώτερον τῆς θέσεως αὐτῆς ἐντὸς τοῦ ἀλπικοῦ γεωσυγκλίνου κατέληξαν εἰς τὸ συμπέρασμα ὅτι αὕτη κατελάμβανε τὴν θέσιν φάραεως μεταξὺ τῆς ζώνης Πίνδου - Ὁλονοῦ (ἀνδαλαξ) ἀφ' ἐνὸς καὶ τῆς Ὅποτελαγονικῆς (=Ἀνατολικῆς Ἐλλάδος) ἀφ' ἐτέρου καὶ δὴ καθ' ὅλην τὴν διάρκειαν τῆς ἔξελιξεως τοῦ ἀλπικοῦ γεωσυγκλίνου εἰς τὸν Ἐλλαδικὸν χῶρον. Εἰδικώτερον, ἡ ζώνη Παρνασσοῦ - Γκιώνας χαρακτηρίζεται συνοπτικῶς ἐκ συνεχοῦς ἀνθρακικῆς ἵζηματογενέσεως, νηριτικῆς κυρίως φάσεως, τούλαχιστον καθ' ὅλην τὴν διάρκειαν τοῦ μεσοζωικοῦ (σχ. 3), ἐκ τῆς παρουσίας χαρακτηριστικοῦ ἀσβεστολιθικοῦ ὁρίζοντος (*Gladocoropsis mirabilis* FELIX) καὶ τέλος τῆς ὑπάρξεως τριῶν ὁρίζοντων Βωξίτου, οἵτινες ἀποδεικνύουν τὴν χέρσευσιν τῆς ζώνης κατὰ τὰ ἀντίστοιχα χρονικὰ διαστήματα. Τεκτονικῶς, ἐντὸς τῶν πλαισίων τῆς γενικωτέρας τεκτονικῆς δομῆς τῶν Ἐλληνίδων, ἡ ζώνη Παρνασσοῦ - Γκιώνας ἐπωθεῖται πρὸς Δ. ἐπὶ τῆς ζώνης Πίνδου - Ὁλονοῦ, ἐνῷ πρὸς Α. ἐπωθεῖται ἐπ' αὐτῆς ἡ ζώνη Ἀνατολικῆς Ἐλλάδος.

Κατὰ τὸν C. Sikosek καὶ W. Medwenitsch (1965) ἡ ζώνη αὕτη ἀντιστοιχεῖ πρὸς τὴν ζώνην τοῦ ὑψηλοῦ Κάρστ τῶν Διναρικῶν Ἀλπεων (Hochkarstdecke der Dinariden) (σχ. 2).

Ἐκ τῶν ἀνωτέρω χαρακτηριστικῶν τούλαχιστον τὸ ἐν καὶ δὴ τὸ ἀναφερόμενον εἰς τὴν ὑπαρξίαν χαρακτηριστικοῦ ἀσβεστολιθικοῦ ὁρίζοντος (*Gladocoropsis mirabilis* FELIX) πρέπει νὰ θεωρηθῇ ὡς πεπερασμένον, λόγῳ τῆς ἐντοπίσεώς του τόσον εἰς τὴν ζώνην Ἀξιοῦ (περιοχὴ Κατσίκας / Χαλκιδικῆς) ὃσον καὶ εἰς τὴν ζώνην Ἀνατ. Ἐλλάδος, ἀλλὰ καὶ εἰς τὴν περιοχὴν Karaburun ἐναντὶ τῆς Χίου εἰς τὴν Τουρκικὴν πλευράν, ἡ δοπία θεωρεῖται ὡς πιθανὴ συνέχεια τῆς ζώνης Ἀξιοῦ (Lechner, 1969).

* S. E. PAPASTAWROU, Bemerkungen zur Bildungsverhältnissen der carbonatgesteine des ob. Campan - ob. Maastrichts in der Parnass - Gjona Zone / Griechenland.

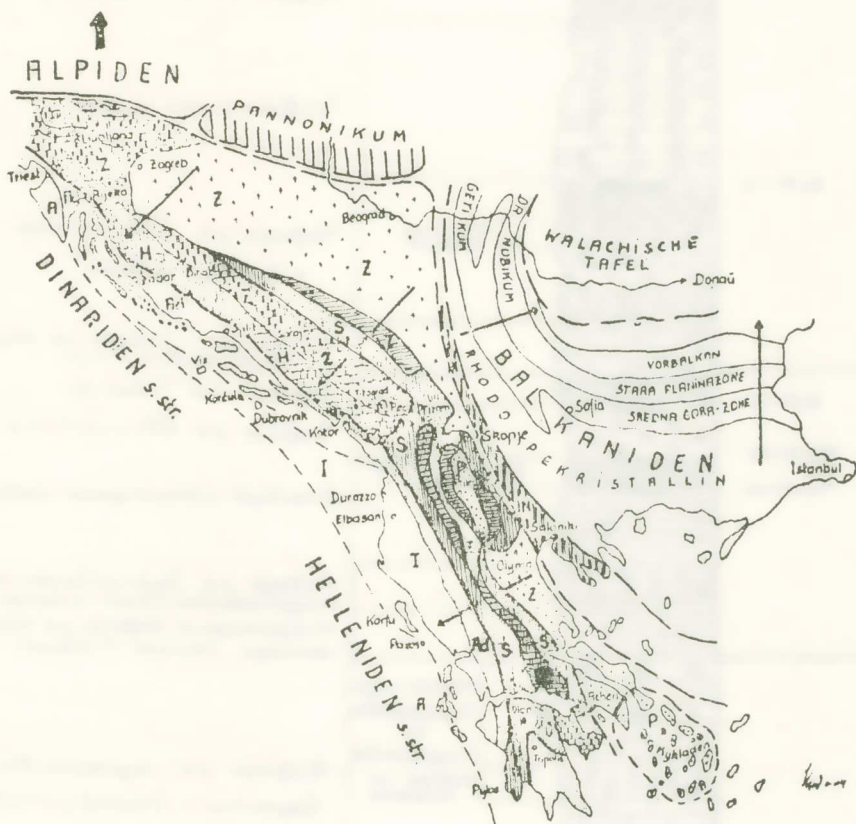


Σχ. 1. Τοπογραφικό σκαρίφημα τής μελετηθείσης περιοχῆς.

Κλίμαξ $\approx 1 : 200\,000$

— — — δρια περιοχῆς.

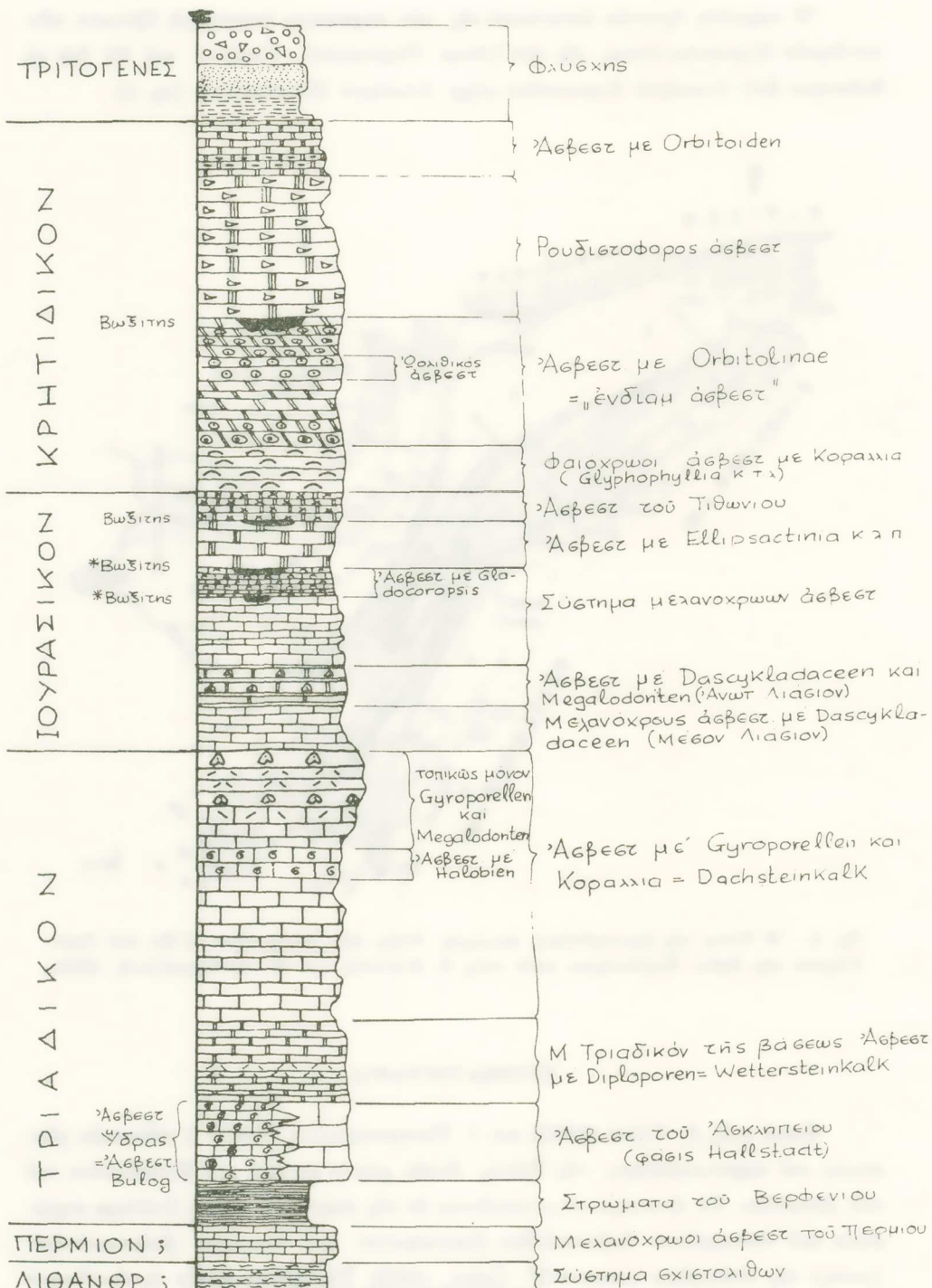
Ἡ παροῦσα ἐργασία ἀποσκοπεῖ εἰς τὴν περιουσίαν λεπτομερῆ ἔξέτασιν τῶν συνθηκῶν ἵζηματογενέσεως εἰς τὴν ζώνην Παρνασσοῦ - Γκιώνας καὶ δὴ διὰ τὸ διάστημα ἀπὸ ἀνωτέρου Καμπανίου μέχρι ἀνωτέρου Μαιστριχτίου (σχ. 1).



Σχ. 2. Ἡ θέσις τῆς ἐρευνηθείσης περιοχῆς ἐντός τῶν Ἐλληνίδων. ('Εκ τοῦ Τεκτ. Χάρτου τῆς Βαλκ. Χερσονήσου κατὰ τοὺς B. Sikosek καὶ W. Medwenitsch, 1965).

ΣΤΡΩΜΑΤΟΓΡΑΦΙΑ

Κατὰ τοὺς P. Celet (1962) καὶ I. Παπασταματίου (1961) ἡ τελευταία χέρσευσις καὶ καρστικοποίησις τῆς Ζώνης ἔλαβε χώραν μεταξὺ τοῦ Κενωμανίου καὶ τοῦ Σενωνίου. Τὰ ἀνωτέρω αἰτιολογοῦνται ἐκ τῆς παρουσίας εἰς τὰ ἀνώτερα στρώματα τοῦ «ἐνδιαμέσου» ἀσβεστολίθου (ὑποκείμενον τοῦ ἀνωτέρου βωξιτικοῦ δρίζοντος) τῆς *Orbitolina concava* (P. Celet, 1962). Τὴν φάσιν αὐτὴν ἥκολούθησαν



Σχ. 3. Σχηματική Τομή της Ζώνης Παρνασσού - Γκιώνας κατά C. Renz
(σύνθεσις Σ. Παπασταύρου).

* Κατά I. Παπασταματίου μέσος και κατώτερος βωξιτικός ορίζων.

<p>Άλλουβιακαι άποδέσεις</p> <p>Κροκαλοπαγές</p> <p>Κροκαλοπαγές</p> <p>Ψαμμίτης</p> <p>Άσβ. άργ. σχιστης Λεπτοστρωματώδης, κανέλινηδης; στιφρός, λευκοκίτρινος, υποπρόσινος άσβεστολίδος, κατά δέσεις μέν κρατολίδιος, πάχος 50-70 μ (Globigerinæ).</p> <p>Ρουδιστοφόρος οσβεστόλιδος πάχος 80-100 μ B3</p> <p>"Ενδιάμεσος" άσβεστολίδος πάχος > 400 μ</p> <p>B2 Παχυστρωματώδης, σκοτεινόχρονος σιφρός άσβεστολίδος (έ Gladiocoropsis mirabilis Felix είς τά άνωτερα στρώματα, πάχος ~ 300 μ)</p> <p>B1 Πολιδικός άσβεστολίδος μέν γαστεροπόδα</p> <p>Σκοτεινόχρονν βιτουμενιύχος άσβεστολίδος (Limidæ, Pinidae, πάχος ~ 200 μ.</p> <p>Δολομίται, δοθημένοι άσβεστολίδεις: άσβεστοι δολομίτες: πάχος > 500 μ</p>	<p>Τεταρτογενές</p> <p>Πλειόκαινον</p> <p>'Άδιαιρετος Φλύσκης</p> <p>Παλαιογενές:</p> <p>Σενώνιον - Παλαιόκαινον</p> <p>Τουρόνειον - Σενώνιον</p> <p>Κιμμερίδιον - Κενομάνιον</p> <p>'Ανωτ. Ίουρας ηπότερον</p> <p>Μέσον Ίουρας ηπότερον</p> <p>Κατώτ. Ίουρας ηπότερον</p> <p>Τοιο θηκών</p>
---	---

Σχ. 4. Σχηματική Τομή της Ζώνης Παρνασσοῦ - Γκιώνας (κατά Ι. Παπασταματίου).

Κρονιδικόν	Καυπάνιον	Μαστρίχτιον	Τομή	Λιδοσόσις	Βιοφάσης	Καδοσηντικά ἀπολιθώματα	
Περίοδος	Υπο- περίοδος	Βαθμός					
Κατώτερον	Άνωτερον	Κερατολιθογόνος άσβεστολιθογόνος	δέξιος πλευρός της περιστούσας της διαβροχής	10 6 12 11 4 9 8 7 3 2 5 1	10 6 12 11 4 9 8 7 3 2 5 1	10 6 12 11 4 9 8 7 3 2 5 1	Globigerinæ Globorotaliaæ Cunæolinæ Miliolidæ Keratol. φακοί
Ρουστοφόρος	άσβεστολιθογόνος	κερατολιθογόνος					



Μικρίτης



Δολ. μικρίτης



Globotruncanae



Globigerinæ



Globorotaliaæ



Cunæolinæ

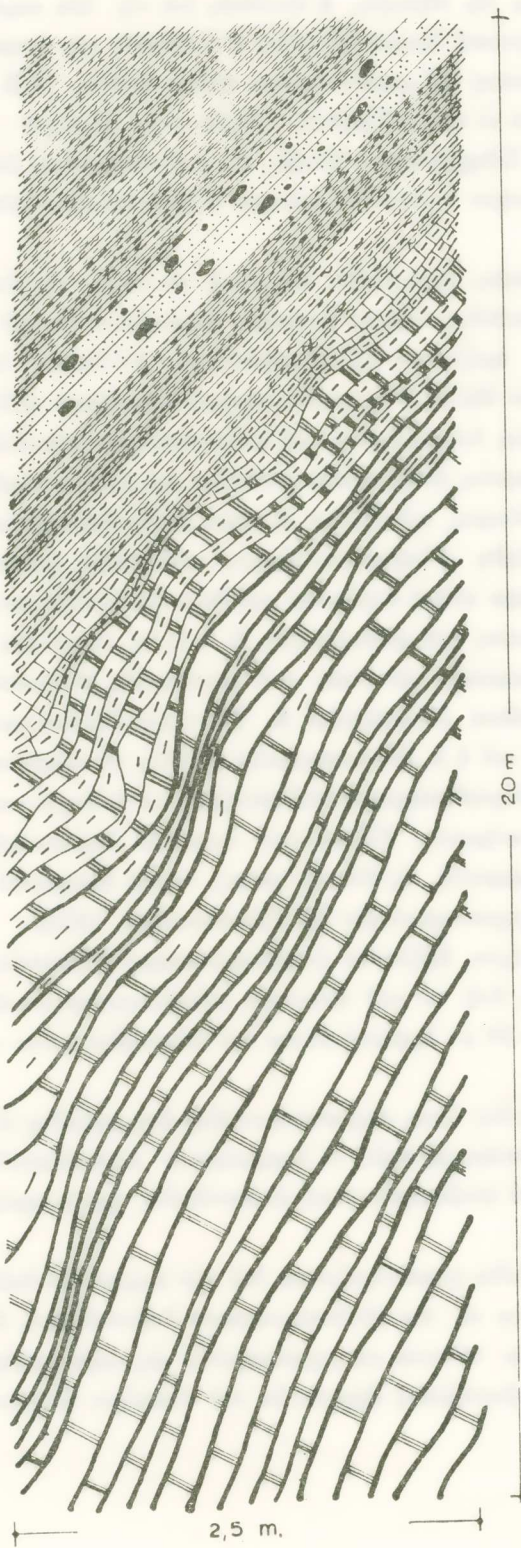


Miliolidæ



Κερατολ. φακοί

Σχ. 5. Σχηματική Τομή δο - βιοφάσεως του Κερατολιθοφόρου άσβεστολιθου.
Κλίμαξ $\approx 1 : 500$.



• Υπεροχείμενα στρώσεις του «γλοβικερινοφόρου» άσβεστολίθου (χυμ. στρωστις, λεπτός. δομήστ.).

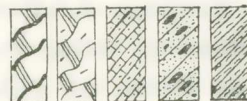
Μαργαρίκος άσβεστολίθος (κατρινέριθρος - καρφεχίτρινος).

• Ανθρακικός άργιλλιτικός σχίστης (φλόγης).

• Ενστρώσεις ψαμμίτου (αροκάλες άσβεστολίθου και μελαφύρου - διαβάσου) φλύσης.

• Ερυθρούργους αργιλλικός σχίστης (φλύσης).

Σκ. 6.



ή χέρσευσις και καρστικοποίησις τῆς περιοχῆς, ή ἀπόθεσις ἐπὶ τῆς ἥδη καρστικοποιηθείσης ἐπιφανείας τοῦ βωξιτικοῦ ὑλικοῦ και τέλος ή ἐπίκλυσις τῆς ἀνωκρητιδικῆς θαλάσσης διὰ τῆς ἀποθέσεως τοῦ ρουδιστοφόρου ἀσβεστολίθου. Ὁ Σ. Παπασταύρου (1970) ἀπέδειξεν, διὰ τὸ τμῆμα Γραβιᾶς - Γερόλακκα - Σταυροῦ - Βάργιανης - Κάρκαρου - Μπέλας - Σιδηροπόρου - Ὅταβι, ὅτι η ἀνωκρητιδικὴ ἐπίκλυσις ἔλαβε χώραν κατὰ τὸ κατώτερον - μέσον Τουρώνειον (*Globotruncana helvetica BOLLI*) (σχ. 4).

Ἡ ἀνθρακικὴ ἵζηματογένεσις ἐσυνεχίσθη και μετὰ τὸ πέρας τῆς ἀποθέσεως τοῦ ρουδιστοφόρου ἀσβεστολίθου περὶ τὸ ἀνώτερον Καμπάνιον διὰ τοῦ σχηματισμοῦ δύο ἀσβεστολιθικῶν δριζόντων (Σ. Παπασταύρου, 1970) (σχ. 5). Ὁ πρῶτος ἐξ αὐτῶν, εἰς τὸν δόποιον ἐδόθη η ὄνομασία «κερατολιθοφόρος» ἀσβεστόλιθος, ἀνευρίσκεται ώς τὸ ἀμέσως ὑπεροχείμενον τοῦ ρουδιστοφόρου ἀσβεστολίθου και χαρακτηρίζεται ἐκ τῆς παρουσίας ἐντὸς αὐτοῦ κονδύλων και κυρίως φακῶν ἐκ κερατολιθικοῦ ὑλικοῦ, ἐνῷ δὲ δεύτερος, τοῦ δόποιον η κυρία μᾶζα ἀποτελεῖται ἐκ γλοβικερινῶν, δι' ὃ και ὡνομάσθη «Γλοβικερινοφόρος», καθίσταται βαθμιαίως ἐντόνως μαργαϊκὸς εἰς τὰ ἀνώτερα αὐτοῦ στρώματα και δεικνύει διμαλήν μεταβασιν πρὸς τὰ στρώματα τῆς βάσεως τοῦ φλύσκου (σχ. 6-, -ἀνθρ. ἀργιλλικὸς σχίστης), ἀνέρχεται δὲ στρωματογραφικῶς και ἐντὸς τοῦ τοιτογενοῦς (*Globorotalia (truncorotalia) velascoensis oclusa* LOEBLICH & TAPPAN, Παλαιόκαινον). Τόσον δὲ P. Celet (1962), ὅσον και δὲ I. Παπασταματίου (1961), ἀναφέρονται εἰς γενικὰς γραμμάς, ἐπὶ τοῦ μεταξὺ ρουδιστοφόρου ἀσβεστολίθου και φλύσκου παρεμβαλλομένου ἀσβεστολιθικοῦ συστήματος. Εἰδικώτερον διμως τὸ ἀσβεστολιθικὸν τοῦτο σύστημα δύναται νὰ διαχωρισθῇ εἰς δύο δριζόντας, σαφῶς διακρινομένους μεταξύ των βάσει τῶν κάτωθι χαρακτηριστικῶν (Σ. Παπασταύρου, 1970).

α) Τὸ πάχος τοῦ κατώτερου δριζόντος (κερατολιθοφόρος ἀσβεστόλιθος) κυμαίνεται μεταξὺ 40 και 50 μ., ἐνῷ τὸ τοῦ ἀνωτέρου (γλοβικερινοφόρος ἀσβεστόλιθος) δὲν ὑπερβαίνει τὰ 15 - 20 μ., ἐμφανιζομένου τοῦ τελευταίου μόνον κατὰ Φέσεις.

β) Ὁ κατώτερος ἀσβεστόλιθος εἶναι παχυστρωματώδης ἔως μαζώδης εἰς τὰ στρώματα τῆς βάσεως του, καθιστάμενος πρὸς τὸ ὑπεροχείμενον λεπτοπλακώδης - λεπτοστρωματώδης. Ἀντιθέτως δὲ γλοβικερινοφόρος ἀσβεστόλιθος χαρακτηρίζεται ώς λεπτοπλακώδης - κονδυλώδης.

γ) Ἀμφότεροι οἱ ἀσβεστόλιθοι χαρακτηρίζονται διὰ τὴν μαργαϊκὴν ἐπίδρασιν, καθισταμένης ταύτης ἐντόνου εἰς τὸν γλοβικερινοφόρον ἀσβεστόλιθον, ὅστις πλησίον τῆς βάσεως τοῦ φλύσκου δύναται νὰ χαρακτηρισθῇ ώς ἀσβεστομάργα.

δ) Ὁ κερατολιθοφόρος ἀσβεστόλιθος ἀρχεται ἐκ τοῦ ἀνωτέρου Καμπανίου

(*Globotruncana fornicata* PLUMMER, *Globotruncana stuartiformis*, *Globotruncana elevata* DALBIETZ) καὶ ἀνέρχεται μέχρι τοῦ ἀνωτέρου Μαιστριχτίου (*Pseudotextularia elegans* RZEHAK).

ε) Ὁ ἀνώτερος ἀσβεστολιθικὸς ὁρίζων, ὅστις διαφοροποιεῖται ἐκ τοῦ κατωτέρου καὶ χρωματικῶς, καθ' ὃ τι καθίσταται ὑποπράσινος - φαιοπράσινος εἰς τὴν βάσιν καὶ ὑπέρουμρος - ἔρυθροκίτρινος εἰς τὰς ἀνωτέρας αὐτοῦ στρώσεις ἔναντι ὑπολεύκου ἀποχρώσεως τοῦ κερατολιθοφόρου ἀσβεστολίθου, περιέχει ἀφ' ἑνὸς μὲν δευτερογενῶς ἀποτεθείσας *Globotruncanae* καὶ εἰς τὴν κυρίαν αὐτοῦ μᾶζαν *Globigerinae*, ἀφ' ἑτέρου δὲ *Globorotaliae*, αἱ δόποιαι ἀποδεικνύουν τὴν παλαιοκαϊνικὴν αὐτοῦ ἡλικίαν (*Globorotalia (truncorotalia) velascoensis oclusa* LOEBLICH & TAPPAN).

στ) Τέλος, ὁ κατώτερος ἀσβεστολιθικὸς ὁρίζων, ὃς μοναδικὸς εἰς τὴν ζώνην Παρνασσοῦ - Γκιώνας, περιέχει κερατολιθίους ὑπὸ μιρρήν φακῶν κυρίως ἀλλὰ καὶ κονδυλώδους μιρρῆς. Ἐξ ὅλων τῶν ἀνωτέρω καὶ ἐν συγκρίσει πρὸς τὰς γνωστὰς συνθήκας ἀποθέσεως τοῦ ουδιστοφόρου ἀσβεστολίθου (βάθος θαλάσσης $\simeq 100\text{ }\mu.$, καθαρὸν καὶ πλούσιον εἰς πλαγκτὸν ὕδωρ, θερμοκρασία $20^{\circ} - 22^{\circ}$, μικρὰ διακύμανσις εἰς τὴν περιεπικότητα εἰς ἄλατα τοῦ θαλασσίου ὕδατος, ἐπάρκεια φωτὸς κ.λπ.) ἐτέθη τὸ ἔρωτημα περὶ ἀλλαγῆς ἢ μὴ τῶν συνθηκῶν εἰς τὸν χῶρον ίζηματογενέσεως περὶ τὸ ἀνώτερον Καμπάνιον. Οὕτω, κατὰ τὴν περαιτέρω ἀκριβεστέραν ἔξετασιν, τόσον βιοφασικῶς, ὃσον καὶ λιθοφασικῶς τῶν συνθηκῶν σχηματισμοῦ τοῦ μεταξὺ τοῦ ουδιστοφόρου ἀσβεστολίθου καὶ τοῦ φλύσκου παρεμβαλλομένου ἀσβεστολιθικοῦ συστήματος παρετηρήθησαν τὰ κάτωθι :

Βιοφασικῶς ἐπέρχεται μία ἀπότομος διακοπὴ τοῦ σχηματισμοῦ ουδιστοφόρου ἀσβεστολίθου (νηριτικὴ φάσις) περὶ τὸ ἀνώτερον Καμπάνιον, ὅπερ δὲν δικαιολογεῖται βιοχρονολογικῶς, καθ' ὃ τι οἱ τελευταῖοι ουδισταὶ εἰς τὸν ὑπόλοιπον Ἑλλαδικὸν χῶρον ἀπομνήσκουν σαφῶς ἀργότερον τοῦ Καμπανίου (π.χ. Ζώνη Πελαγονική, Ζώνη Πίνδου - Όλονοῦ, ΥΠΟΠΕΛΑΓΟΝΙΚΗ Ζώνη, Ζώνη ΑΞΙΟῦ). Ἡ διακοπὴ αὕτη εἰς τὸν σχηματισμὸν τοῦ ὡς ἄνω ἀσβεστολίθου εἶναι ἀπότομος καὶ εἰς τὴν προκειμένην περίπτωσιν δυνάμεθα νὰ δεχθῶμεν ὅτι τοῦτο ὀφείλεται εἰς ἀλλαγὴν τῶν συνθηκῶν εἰς τὸν βιότοπον, ὡς π.χ. εἰδικῶς διὰ τοὺς ουδιστὰς ἀλλαγὴν εἰς τὴν θερμοκρασίαν τοῦ ὕδατος, εἰς τὴν καθαρότητα ἢ τὸ βάθος αὐτοῦ κ.λπ. Περὶ τῆς ὡς ἄνω ἀλλαγῆς συνηγορεῖ ἐπίσης ἡ παρατηρησις περὶ τῆς παντελοῦς ἔλλειψεως τῆς μέχρι καὶ τοῦ κατωτέρου Καμπανίου παρατηρηθείσης μικροπανίδος βενθονικῶν δργανισμῶν. Ἐπὶ τούτου ἐπισημαίνεται τὸ γεγονός τῆς ἐντόνου παρουσίας τούτων (Milliolidae) ἀπὸ τοῦ κατωτέρου Τουρωνίου μέχρι καὶ τοῦ κατωτέρου Καμπανίου.

Λαμβάνοντες ύπ^o δψιν τὸ γεγονός, ὅτι ὁ ἀμέσως τοῦ ρουδιστοφόρου ἀσβεστολίθου ὑπερκείμενος δρίζων (κερατολιθοφόρος ἀσβεστόλιθος), κατὰ γενομένας ἀναλύσεις (10 δείγματα ἐκ $\simeq 400$ gr. ἔκαστον), δὲν παρέχει στοιχεῖα μολύνσεως τοῦ ὄντος (π.χ. βιτουμένια ἢ ὑψηλὴ περιεκτικότης εἰς S), ἐν σχέσει πρὸς τοὺς ρουδιστὰς καὶ τὰ βενθονικὰ τρηματοφόρα, δυνάμεθα νὰ ἀποδεχθῶμεν, ὡς πιθανωτέραν ἔκδοξὴν περὶ τῆς ἀλλαγῆς τῶν συνθηκῶν εἰς τὸν χῶρον ἵζηματογενέσεως, τὴν ὑπαρξίαν βαθυτέρας θαλάσσης κατὰ τὸ ἀνώτερον Καμπάνιον καὶ Μαιστρίχτιον. Ὡς ἐκ τῶν παρατηρήσεων τοῦ W. C. Cole (1957) καὶ κυρίως τοῦ T. P. Burnaby, προκύπτει, τὰ βενθονικὰ τρηματοφόρα τῆς παρατηρηθείσης οἰκογενείας τῶν Milliolidae δὲν ἐπιζοῦν εἰς βάθος θαλάσσης μεγαλύτερον τῶν 180 - 250 μ. Εἰς τὰ αὐτὰ συμπεράσματα κατέληξαν ἐπίσης οἱ Wegner (1926), Voigt (1929), Cayeux (1935), George (1957), Barnes & Black (1959), Hiltermann (1963) καὶ Hudson (1962).

Προκειμένου περὶ τῆς οἰκογενείας τῶν Milliolidae δέον ὅπως τονισθῇ, ὅτι πρόκειται περὶ τρηματοφόρων μὲ κέλυφος ἐκ πορσελάνης ἐκ κρυπτοκυνσταλλικοῦ ἀσβεστίου ($\simeq 90 - 95\%$ CaCO₃ καὶ $5 - 10\%$ MgCO₃). Ἐν ἔτερον στοιχεῖον, περὶ τῆς ὑπάρξεως βαθυτέρας θαλάσσης κατὰ τὴν ἔξεταζομένην περίοδον, ἀποτελεῖ ἡ ἐντὸς τοῦ κερατολιθοφόρου ἀσβεστολίθου ὑπαρξία τῆς *Pseudotextularia elegans* RZENAK. Κατὰ τοὺς T. P. Burnaby (1961), H. Nestler (1965), R. G. C. Buthurst (1967) καὶ A. Hallam (1968) ἡ ὑπαρξία τῆς *Pseudotextularia* εἶναι ἐνδεικτικὴ διὰ βάθος θαλάσσης μεταξὺ 250 καὶ 400 μ.

Κατὰ τὴν περαιτέρω ἔξετασιν τῶν ληφθέντων δειγμάτων διὰ τοῦ ἥλεκτρονικοῦ μικροσκοπίου διεπιστώθη ἡ ὑπαρξίας πτωχῆς μὲν εἰς εἰδη, πλουσίας ὅμως εἰς ἀριθμὸν δργανισμῶν πανίδος τῆς οἰκογενείας τῶν *Coccolithen* (Μαστιγοφόρα). Ἐκτὸς τῆς ἐπιβεβαιώσεως τῆς ἡλικίας τοῦ κερατολιθοφόρου ἀσβεστολίθου (*Percivalia pontilis* BURKY διὰ τὸ Μαιστρίχτιον) προσετέθη ἐν εἰσέτι στοιχεῖον, τὸ δόποιον συνηγορεῖ περὶ τῆς ὑπάρξεως σαφῶς βαθυτέρας θαλάσσης κατὰ τὸν χρόνον δημιουργίας τοῦ κερατολιθοφόρου ἀσβεστολίθου, δεδομένου ὅτι τὰ *Coccolithen*, ὡς πελαγικοὶ δργανισμοί, ζοῦν σχεδὸν ἐπὶ τῆς ἐπιφανείας τῆς θαλάσσης, ἀποθνήσκοντες ὅμως ἀποτίθενται εἰς βάθος ἀνω τῶν 200 μ., ἀλλὰ καὶ μέχρι βάθους 5000 μ. (Kamptner, 1963, Mägdefrau, 1968). Διὰ τῶν *Coccolithen* προσδιωρίσθη ἐξ ἄλλου καὶ τὸ βάθος τῆς θαλάσσης εἰς τὸν χῶρον ἀποθέσεως τοῦ κερατολιθοφόρου ἀσβεστολίθου τοῦ ἀνωτέρου Κρητιδικοῦ εἰς τὸν χῶρον τῆς Β. Γερμανίας (Rügen) ὑπὸ τῶν Nestler (1965), Wetzel (1965) κ. ἄ.

Οἱ ἀσβεστόλιθοι τέλος κατετάγησαν μικροσκοπικῶς ὡς βιομικῆται.

Ἐξ ὅλων τῶν ἀνωτέρω συνάγεται τὸ συμπέρασμα ὅτι κατὰ τὸ ἀνώτερον

Καμπάνιον ἡ θάλασσα κατέστη βαθυτέρα εἰς τὸν χῶρον τῆς Ζώνης Παρνασσοῦ - Γκιώνας, πιστεύομεν δὲ αὕξησιν τοῦ βάθους πέραν τῶν 250 μ., ἥτοι σαφῶς πέραν τῶν ὅρίων τῆς νηριτικῆς φάσεως.

὾γος ἐκ τῶν χαρτῶν τοῦ ΕΘΙΓΜΕ (Φύλλα 1 : 50.000) καὶ ἐπιτοπίου ἔξετάσεως προκύπτει, τὸ μεταξὺ ρουδιστοφόρου ἀσβεστολίθου καὶ φλύσχου παρεμβαλλόμενον ἀσβεστολιθικὸν σύστημα καλύπτει ἵκανὴν ἔκτασιν, κυρίως εἰς τὸ ἀνατολικὸν τμῆμα τῆς ἔξεταζομένης ζώνης. Ἐπομένως, τὰ συμπεράσματα περὶ ἀλλαγῆς τῶν συνυθηκῶν ἵζηματογενέσεως, τὰ δόποια ἔξήγηθησαν ἐκ παρατηρήσεων κυρίως τῆς περιοχῆς Προσηλίου - Βάρογιανης - Γερόλακκα - Ὁτάβι κ.λπ. δύνανται νὰ ἐπεκταθοῦν ἐφ' ὅλης τῆς Ζώνης Παρνασσοῦ - Γκιώνας.

Πλὴν τῶν ἀνωτέρω ἐκτεθέντων περὶ τῶν στρωματογραφικῶν καὶ κυρίως βιοφασικῶν χαρακτηριστικῶν τοῦ ἔξεταζομένου ἀσβεστολιθικοῦ συστήματος ἔξητάσθησαν καὶ αἱ συνυθῆκαι δημιουργίαις τῶν κερατολιθικῶν φακῶν καὶ κονδύλων.

Οἱ ἐντὸς τοῦ «κερατολιθοφόρου» ἀσβεστολίθου ἀπαντώμενοι φακοὶ καὶ κόνδυλοι πυριτικοῦ ὑλικοῦ εἶναι μέλανος κυρίως ἀλλὰ καὶ ἐρυθροῦ χρώματος. Ἡ παρουσία των καθίσταται ἐντονωτέρα εἰς τὰς ὑποκειμένας στρώσεις τοῦ ἀσβεστολίθου ἐν σχέσει πρὸς τὰς ὑπεροχειμένας. Οὔτω, τὸ ποσοστὸν συμμετοχῆς εἰς τὰ πρῶτα 20 - 25 μ. τοῦ «κερατολιθοφόρου» ἀσβεστολίθου, ὑπερβαίνει τὸ 15 % τῆς συνολικῆς μάζης τοῦ ἀσβεστολίθου, ἀκολούθως μειοῦται εἰς τὰ ἐπόμενα 10 - 15 μ. καὶ ἀποστιάζει σχεδὸν παντελῶς εἰς τὰ τελευταῖα 5 - 10 μ.

Οἱ φακοὶ ἐκ κερατολιθικοῦ ὑλικοῦ παρουσιάζουν κελυφοειδῆ ἐπιφάνειαν θραύσεως καὶ εὐρίσκονται κατὰ κανόνα εἰς θέσιν παραλλήλον πρὸς τὴν στρῶσιν τοῦ ἀσβεστολίθου, περιβαλλόμενοι ὑπὸ λευκοῦ χρώματος ἐπιφλοιώσεως (κρούστας) πάχους 0,5 - 2 mm. Παρετηρήθη ἐπίσης σύνδεσις μεταξὺ δύο ἢ καὶ περισσοτέρων φακῶν, χωρὶς δῆμος τοῦτο νὰ ἀποτελῇ κανόνα διὰ τὸ σύνολον. Δὲν παρετηρήθη ἔξαρτησις τῆς θέσεως ἀνευρέσεως τῶν φακῶν ἐκ ορηιγενῶν ἐπιφανειῶν, ὅπερ θὰ ἐσήμαινε τυχὸν μεταγενεστέραν φάσιν συγκεντρώσεως τοῦ πυριτικοῦ ὑλικοῦ ἐντὸς τοῦ ἀσβεστολίθου ἢ καὶ ἐμπλουτισμὸν τῆς ἀνθρακικῆς ὥλος εἰς ἓν στάδιον δψύμου διαγενέσεως τοῦ ἀσβεστολίθου δι' ἔξωθεν προερχομένου πυριτικοῦ ὑλικοῦ. Ἐμφανῆς ἐπίσης ἡ διατήρησις ἐντὸς τῶν κερατολιθικῶν φακῶν χαρακτηριστικῶν τοῦ ἀσβεστολίθου, ὡς π. χ. διατήρησις μικρο-απολιθωμάτων (Τρηματοφόρα). Τὸ ἀσβεστικὸν κέλυφος τῶν τρηματοφόρων δὲν διατηρεῖται, ἀλλὰ ἔχει ἀντικατασταθῆ πλήρως ὑπὸ SiO_2 - ὑλικοῦ. Ἐπίσης δὲν παρετηρήθη παραμόρφωσις τῶν ἐντὸς τῶν κερατολιθικῶν φακῶν διατηρηθέντων κελυφῶν τῶν τρηματοφόρων. Τὰ ἐντὸς τοῦ ἀσβεστολίθου παρατηρηθέντα *Coccolithen* δὲν διατηροῦνται καὶ ἐντὸς τῶν κερατολιθικῶν φακῶν. Τὸ πυριτικὸν ὑλικὸν τῶν φακῶν παρουσιάζεται κρυπτοκρυστα-

λικὸν ἔως ἄμορφον. Δὲν ἀναπτύσσονται κρύσταλλοι χαλαζίου, ὅπερ θὰ ἀπετέλει ἐνδειξιν ὁψίμου διαγενετικοῦ σταδίου (Cayeux, 1939 - Pettijohn, 1957 - Flörke, 1962 - Micheelsen, 1966).

Οἱ κερατολιθικοὶ φακοὶ δὲν παρουσιάζουν ἐσωτερικὴν δομήν, ὡς π.χ. ὑπαρξιν δακτυλίων κ.λπ., ὅπερ θὰ ἀπεδείκνυε τεκτονικὴν καταπόνησιν. Περαιτέρω παρετηρήθη καὶ νεωτέρα διακίνησις πυριτικοῦ ὑλικοῦ, ἀλλὰ καὶ ἀσβεστιτικοῦ ὑλικοῦ, κατὰ μῆκος μικρορηγματώσεων, μὲ ἀποτέλεσμα τὴν κατὰ θέσεις αὔξησιν τοῦ μεγέθους τῶν κόκκων τόσον τοῦ πυριτικοῦ ὑλικοῦ ὅσον καὶ δημιουργίας μεγαλυτέρων κρυστάλλων ἀσβεστίτου (Συγκεντρωτικὴ ἀνακρυστάλλωσις ;). Τὸ τελευταῖον φαινόμενον συνδέεται πάντοτε μὲ τὴν διακίνησιν τοῦ ὑλικοῦ κατὰ μῆκος τεκτονικῶν ἐπιφανειῶν καὶ πρόκειται προφανῶς περὶ διαλυμάτων ἐκ πιέσεως (Drucklösungen). Τοῦτο ἐπιβεβαιώνεται καὶ ἐκ τῆς παρατηρήσεως διδυμιῶν (γραμμοσκιώσεων) ἐκ πιέσεως (Drucklamellen) ἐπὶ τῶν κρυστάλλων τοῦ ἀσβεστίτου. Αἱ μικρορηγματώσεις παρετηρήθησαν τόσον ἐντὸς τοῦ ἀσβεστολίθου, ὅσον καὶ ἐντὸς τῶν κερατολιθικῶν φακῶν, ἀρχονται ἐκ τοῦ καθαροῦ ἀσβεστολίθου διαπεροῦν τὴν λευκὴν ἐπιφλοίωσιν καὶ καταλίγονταν ἐντὸς τῶν φακῶν. Ἡ λευκὴ ἐπιφλοίωσις παρουσιάζει τὸν πορῶδες, τοῦτο δὲ δύναται νὰ ἔξηγηθῇ ὡς ἀποτέλεσμα τῆς διαλύσεως καὶ μεταφορᾶς τοῦ ἀνθρακικοῦ ὑλικοῦ ἐκ τῆς μεταβατικῆς ταύτης ζώνης μεταξὺ ἀσβεστολίθου καὶ κερατολιθικοῦ φακοῦ (Machatschki, 1951, Nestler, 1965).

Ἔχην ἄμορφου πυριτικοῦ ὑλικοῦ παρετηρήθησαν καὶ ἐντὸς τοῦ καθαροῦ ἀσβεστολιθικοῦ τμήματος, γεγονὸς ποὺ ἀποτελεῖ ἐνδειξιν προϋπάρξεως πυριτικοῦ ὑλικοῦ ἐντὸς τῆς ἀνθρακικῆς ἵλυρος.

Ἐξ ὅλων τῶν ἀνωτέρω συμπεραίνεται, ὅτι ὁ σχηματισμὸς τῶν κερατολιθικῶν φακῶν δὲν θὰ πρέπει νὰ ἔλαβε χώραν κατὰ ἐν στάδιον ὁψίμου διαγενέσεως, ἀλλὰ τούναντίον κατὰ ἐν προηγούμενον στάδιον.

Λόγῳ τῆς μικρᾶς περιεκτικότητος τοῦ θαλασσίου ὕδατος εἰς διαλελυμένον πυριτικὸν ὑλικὸν δὲν δύναται νὰ θεωρηθῇ δυνατὸς ὁ σχηματισμὸς τῶν φακῶν ἐπὶ τῆς ἐπιφανείας τοῦ ιζήματος. Πιθανωτέρα λοιπὸν ἐκδοχὴ ἡ διὰ συγκεντρώσεως τοῦ πυριτικοῦ ὑλικοῦ δι' ἀντιστοίχου ἐκτοπίσεως ἀσβεστιτικοῦ ὑλικοῦ ὑπὸ ὥρισμένην κάλυψιν ιζήματος, ἃρα εἰς διαγενετικὸν στάδιον. Ἡ καὶ μετὰ τὸ πρῶτον στάδιον τῆς διαγενέσεως μετακίνησις τοῦ πυριτικοῦ ὑλικοῦ ὠδήγησεν εἰς ἀνακατατάξεις τοῦ ὑλικοῦ ἐντὸς τοῦ ιζήματος, ἀφ' ἐνὸς λόγῳ ἀλλαγῆς τῶν συνθηκῶν πιέσεως καὶ θερμοκρασίας, ἀφ' ἐτέρου δὲ καὶ λόγῳ τῆς ἀλλαγῆς τῶν συνθηκῶν pH καὶ E_H μὲ ἀποτέλεσμα τὸν ἐμπλουτισμὸν ὥρισμένων θέσεων, ὡς π.χ. πλη-

σίον τῶν διὰ πυριτικοῦ ὑλικοῦ πεπληρωμένων μικροδηγματώσεων, ὅπου παρατηρεῖται καὶ μία σχετικὴ συγκεντρωτικὴ ἀνακρυστάλλωσις (*Sammelkristallisation* ;).

Περὶ τοῦ χρόνου ἐνάρξεως τῆς συμπιέσεως τοῦ ἵζήματος καὶ τῆς συσχετίσεως αὐτῆς πρὸς τὸν χρόνον σχηματισμοῦ τῶν κερατολιθικῶν φακῶν δυνάμεθα νὰ εἴπωμεν ὅτι ἡ μὴ παραμόρφωσις τῶν κελυφῶν τῶν ἐντὸς τοῦ πυριτικοῦ ὑλικοῦ, διατηρηθέντων τρηματοφόρων, ἀποδεικνύει ὅτι ἡ δημιουργία τῶν φακῶν ἥρχισε καὶ ἐσυνεχίσθη μετὰ τὸ πρῶτον στάδιον συμπιέσεως τοῦ ἵζήματος (Pettijohn, 1957 - Gripp, 1954). Τοῦτο ἐνισχύεται καὶ ἐκ τοῦ γεγονότος τῆς ἀπουσίας φαινομένου συσσωρεύσεως τῶν φακῶν ἢ καθηρητοειδῶν γραμμώσεων ἐντὸς τῶν κερατολιθικῶν φακῶν, ποὺ θὰ ἀπεδείκνυν ἐπίδρασιν λόγῳ τῆς συμπιέσεως τοῦ ἵζήματος καὶ ἐπὶ τῶν εἰς τὴν περίπτωσιν αὐτὴν συγχρόνων ἢ καὶ παλαιοτέρων κερατολιθικῶν φακῶν.

Τοιουτοτρόπως καταλήγομεν εἰς τὸ συμπέρασμα ὅτι ὁ σχηματισμὸς τῶν κερατολιθικῶν φακῶν θὰ πρέπει νὰ ἔλαβε χώραν ὑπὸ μικρὴν κάλυψιν ἵζήματος, ἀποκλειομένων τῶν περιπτώσεων δημιουργίας ὑπὸ μεγάλην κάλυψιν ἢ ἐπὶ τῆς ἐπιφανείας τοῦ μαλακοῦ ἵζήματος. Ἡ περίπτωσις δημιουργίας τῶν φακῶν πρὸ τῆς φάσεως συμπιέσεως τοῦ ἵζήματος, αἰτιολογεῖται μερικῶς λόγῳ πληρώσεως τοῦ ἐσωτερικοῦ τῶν κελυφῶν ὀρισμένων τῶν τρηματοφόρων ὑπὸ πυριτικοῦ ὑλικοῦ. Δι’ ὀρισμένους τούλαχιστον φακοὺς ἰσχύει, λοιπόν, ὡς χρόνος τῆς δημιουργίας των, στάδιον πρὸ τῆς ἐνάρξεως τῆς συμπιέσεως τοῦ ἵζήματος. Τὸ πλέον ὅμως ἀκανθῶδες πρόβλημα ἀπετέλεσε κατὰ τὴν παροῦσαν μελέτην ἡ ἔξηγησις τῆς προελεύσεως τοῦ πυριτικοῦ ὑλικοῦ.

‘Ως γνωστὸν τρεῖς εἶναι αἱ δυναταὶ πηγαὶ προελεύσεως πυριτικοῦ ὑλικοῦ διὰ τὴν δημιουργίαν κερατολιθικῶν φακῶν ἐντὸς ἀσβεστολίθου :

- α) ἡφαιστειακῆς προελεύσεως,
- β) βιογενοῦς προελεύσεως (Ραδιολάρια, Πυριτιόσποργοι, Περιδινῖδαι κ.λπ.)
- καὶ γ) διὰ τῆς παντοιοτρόπου μεταφορᾶς πυριτικοῦ ὑλικοῦ εἰς τὸν χώρον ἵζηματογενέσεως.

‘Ἡ πρώτη περίπτωσις ἀπορρίπτεται εὐλόγως, λόγῳ μὴ ὑπάρχεως ἡφαιστειακῆς δράσεως εἰς τὴν περιοχὴν Ζώνης Παρνασσοῦ - Γκιάνας, ἀλλὰ εἰς τὰς παρακειμένας, κατὰ τὸ χρονικὸν διάστημα τῆς δημιουργίας τοῦ «κερατολιθοφόρου» ἀσβεστολίθου, περιοχάς.

Διὰ τὴν δευτέραν περίπτωσιν προελεύσεως τοῦ πυριτικοῦ ὑλικοῦ δυνάμεθα μόνον νὰ εἴπωμεν ὅτι ὅλαι αἱ προσπάθειαι ἐντοπισμοῦ, ἔστω καὶ ὑπολειμμάτων, δραγανισμῶν πυριτικοῦ κελύφους ἀπέβησαν ἀρνητικά. Τοῦτο φυσικὰ δὲν ἀποτελεῖ ἀποδεικτικόν, ἀλλὰ τούλαχιστον ἐνδεικτικὸν στοιχεῖον. Θὰ ἥδυνατο λοιπὸν νὰ

προέρχεται τὸ πυριτικὸν ὑλικὸν ἐξ ὁργανισμῶν πυριτικοῦ κελύφους, οἱ δποῖοι ὅμως, λόγῳ ἵσως λεπτοτάτου σκελετοῦ καὶ μικροῦ μεγέθους, νὰ ἔχουν διαλυθῆ καὶ νὰ μὴν ὑφίστανται πλέον, ὡς συνέβη π.χ. εἰς τὸν κερατολιθοφόρον ἀσβεστόλιθον τοῦ ἀνωτ. Κρητιδικοῦ τῆς περιοχῆς Rügen/B. Γερμανίας (Nestler, 1965, Mägdefrau, 1968), ὑφισταμένων πλέον μόνον μεγαλυτέρου μεγέθους Περιδινιδῶν (Wetzel, 1933 καὶ 1940).

Δυνατή, τοῦλάχιστον θεωρητικῶς, παρουσιάζεται καὶ ἡ τρίτη περίπτωσις, ἀν καὶ ἡ ἔξηγησις τοῦ φαινομένου σχηματισμοῦ κερατολιθικῶν φακῶν ἐντὸς ἀσβεστολίθου αὐτῆς τῆς κατηγορίας εὑρίσκεται εἰσέτι εἰς τὸ πειραματικὸν στάδιον.

‘Ως ἐλέχθη, ἡ θάλασσα κατὰ τὸ ἔξεταζόμενον χρονικὸν διάστημα ἀνωτέρου Καμπανίου - ἀνωτέρου Μαιστριχτίου κατέστη σαφῶς βαθυτέρα, ἔναντι τοῦ χρόνου κατὰ τὸν δποῖον ἐσχηματίσθη ὁ ουδιστοφόρος ἀσβεστόλιθος. Κατὰ τὸ αὐτὸ χρονικὸν διάστημα ἐκδηλοῦνται σαφεῖς ἀνοδικαὶ κινήσεις εἰς τὴν παρακειμένην ζώνην τῆς Ἀνατολικῆς Ἑλλάδος (φλύσχης τοῦ Μαιστριχτίου ἢ καὶ παλαιότερος ;). Εἶναι λοιπὸν δυνατὸν τμῆμα τῆς Ζώνης αὐτῆς νὰ ἔχερσενεν κατὰ τὴν περίοδον δημιουργίας τοῦ κερατολιθοφόρου ἀσβεστολίθου.

‘Ως γνωστὸν εἰς τὴν ζώνην Ἀνατολικῆς Ἑλλάδος ὑφίστανται πλεῖστοι ὅσοι σχηματισμοί, οἱ δποῖοι θὰ ἥδυναντο, διὰ τῆς διαβρώσεως καὶ ἀποκομιδῆς, νὰ ἀποδώσουν πυριτικὸν ὑλικόν, ὡς π.χ. οἱ σχηματισμοὶ τοῦ μέσου καὶ ἀνωτέρου Ιουρασικοῦ.

Κατὰ τοὺς περισσοτέρους μελετητὰς τὸ ἐξ ἀποσαμρώσεως προερχόμενον πυριτικὸν ὑλικὸν δύναται ὑπὸ μορφὴν ἴοντων νὰ μεταφερθῇ μακρὰν (G. Müller, W. Engelhardt, E. C. Dappes, W. D. Grimm κ.λπ.). Δεδομένου ὅτι εἰς τὴν προκειμένην περίπτωσιν δὲν παρετηρήθη πυριτικὸν ὑλικὸν ὑπὸ μορφὴν κλαστικοῦ ὑλικοῦ (detritus) θὰ πρέπει νὰ δεχθῶμεν ὡς πιθανωτέραν τὴν ἐν διαλύσει μεταφορὰν τοῦ πυριτικοῦ ὑλικοῦ καὶ δὴ δι’ ἀπόστασιν τῆς τάξεως τῶν 15 - 30 km. Θὰ πρέπει λοιπὸν κατὰ τὰ ἀνωτέρω νὰ δεχθῶμεν τὴν ὑπαρξίν, κατὰ τὸν χρόνον ἀποθέσεως τῆς ἀνθρακικῆς ἥλυος, συγχρόνων θαλασσίων φευμάτων ὑψηλῆς περιεκτικότητος εἰς πυριτικὸν ὑλικόν.

ΣΥΜΠΕΡΑΣΜΑΤΑ

Ἐξ ὅλων τῶν ἀνωτέρω συμπεραίνεται ὅτι κατὰ τὸ ἀνώτερον Καμπάνιον ἐπῆλθεν ἀλλαγὴ τῶν συνθηκῶν ἵζηματογενέσεως εἰς τὸν χῶρον τῆς Ζώνης Παρνασσοῦ - Γκιώνας καὶ δὴ διὰ βυθίσεως τῆς ἀνωτέρω Ζώνης.

Διὰ τὸ διάστημα λοιπὸν ἀπὸ ἀνωτέρου Καμπανίου ἔως καὶ ἀνωτέρου Μαϊστριχτίου δὲν ἵσχει ὡς χαρακτηριστικὸν τῆς ζώνης Παρνασσοῦ - Γκιώνας ἡ ἀπόθεσις καὶ σχηματισμὸς ἴζημάτων ἀνθρακικῆς συστάσεως εἰς νεφιτικὴν φάσιν. Ἡ διὰ τὸ διάστημα τοῦτο ἵσχυονσα φάσις δύναται νὰ χαρακτηρισθῇ ὡς πελαγικὴ (βάθος 250 - 400 μ.).

Ἄποδεικνύεται ἡ ὑπαρξία *Coccolithen* εἰς τὴν Ζώνην Παρνασσοῦ - Γκιώνας καὶ προτείνεται ἡ καθιέρωσις ὡς χαρακτηριστικοῦ τῆς ζώνης ἡ ὑπαρξία τοῦ κερατοιλιθοφόρου ἀσβεστολίθου τοῦ Ἀνωτέρου Καμπανίου - Μαϊστριχτίου.

Τέλος, διὰ συσχετίσεως τῶν γνωστῶν ἀνοδικῶν κινήσεων κατὰ τὸ ἀνώτερον Κρητιδικὸν εἰς τὴν Ζώνην Ἀνατολικῆς Ἐλλάδος (φλύσκης) καὶ τῶν ἀντιστοίχων καθοδικῶν εἰς τὴν μελετωμένην Ζώνην, ἀποδεικνύεται ἡ ὑπαρξία τῆς ἐνδογκοσαυϊκῆς ὁρογενετικῆς φάσεως (*intragosauische phase*) κατὰ A. Tollmann, εἰς τὸν Ἐλλαδικὸν χῶρον.

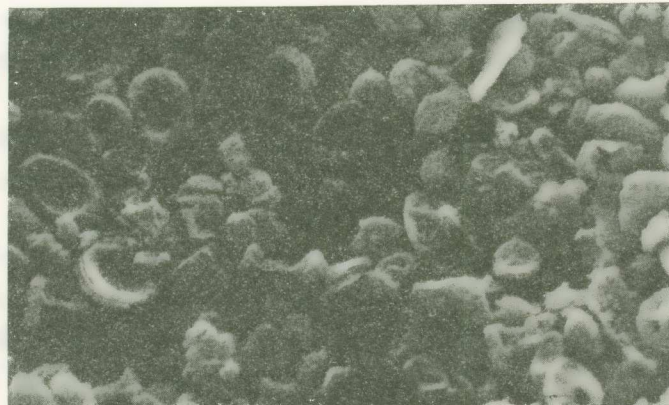
Οἱ παρατηρηθέντες κερατόλιθοι χαρακτηρίζονται ὡς συνδιαγενετικοὶ σχηματισμοὶ καὶ δὴ πρωίμου διαγενετικοῦ σταδίου ἐπὶ τὸ πλεῖστον. Ὡς πηγὴ προελεύσεως τοῦ ἀπαιτούμενου πυριτικοῦ ὄντος λαμβάνεται θεωρητικῶς ὁ χῶρος τῆς Ζώνης ἀνατολικῆς Ἐλλάδος, ἐν συνδυασμῷ πρὸς τοὺς ὑπάρχοντας σχηματισμοὺς τοῦ Ἰουρασικοῦ καὶ πρὸς τὰς βεβαίας (φλύσκης) ἀνοδικὰς κινήσεις, αἱ δποῖαι παρατηροῦνται εἰς τὴν Ζώνην αὐτὴν κατὰ τὸ ἀνώτερον Κρητιδικόν.

Z U S A M M E N F A S S U N G

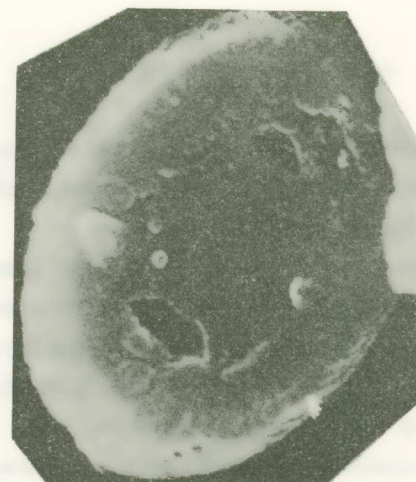
Es werden sowohl der Ablagerungsraum als auch die Bildungsverhältnissen der Sedimente zwischen ob. Campan und ob. Maastricht im Raume der Parnass - Gjona Zone untersucht.

Der beobachteten Fauna nach ergab sich, dass es sich dabei um einer pelagischen und nicht, wie bis jetzt angenommen wurde, um eine neritischen Facies handelt. Durch elektronenmikroskopische Untersuchungen wurde erstmals in der untersuchten Zone eine individuenreiche Coccolithen - Fauna des Maastrichts beobachtet.

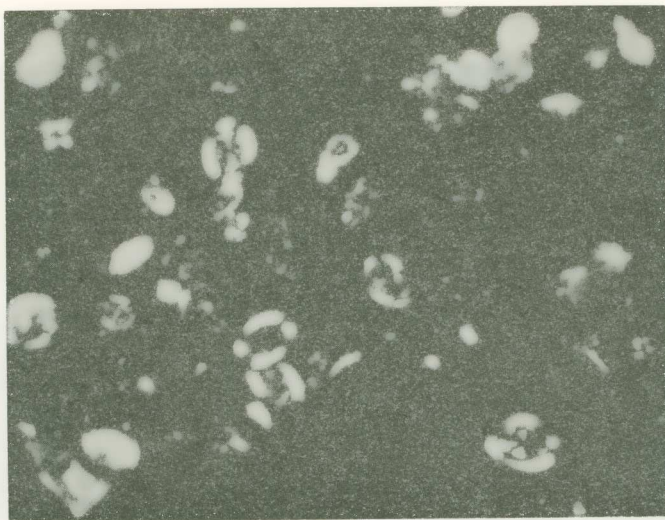
Durch die Korrelation der orogenetischen Bewegungen im Raume der Osthellenischen Zone (bewiesener Flysch des Maastrichts) und der in der Parnass - Gjona Zone (Senkungstendenz im ob. Campan) wird die intragosauische Phase im griechischen Raum indirekt markiert.



Εικ. 1. Cocco lithen ἐντὸς τοῦ «κερατολιθοφόρου» ἀσβεστολίθου,
Μαιστριχτίου (1400 \times , ἡλεκτρ. μικροσκόπιον).



Εικ. 2. Percivalia pontilite Byrky (proximal - πλευρά). «Γκλοβικερινο-
φόρος» ἀσβεστόλιθος - Μαιστριχτίου. (9600 \times , ἡλεκτρ. μικροσκόπιον)



Εικ. 3. Τυπικός σταυρός τῶν Coccolithen, Nicols +, 800 × (κονιοπαρασκεύασμα). «Κερατολιθοφόρος» ἀσβεστόλιθος, Μαιστρίχτιον.



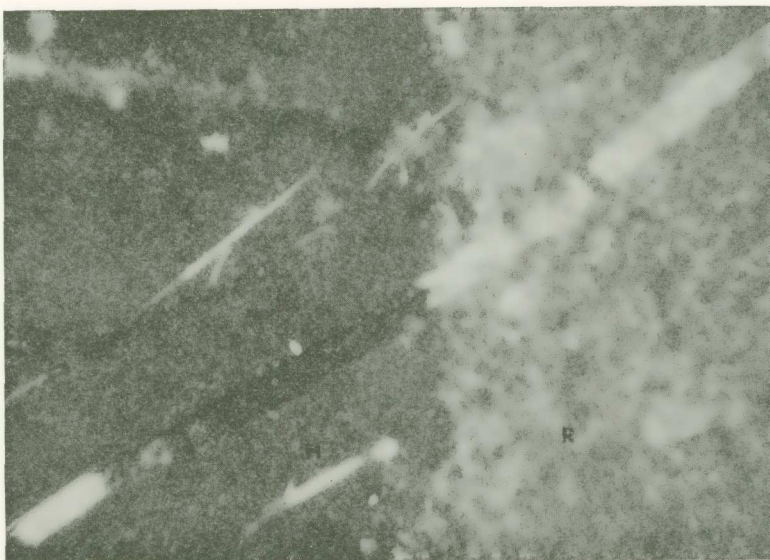
Εικ. 4. *Pseudotextularia elegans* Rzehak. «Κερατολιθοφόρος» ἀσβεστόλιθος, Μαιστρίχτιον (150 ×).



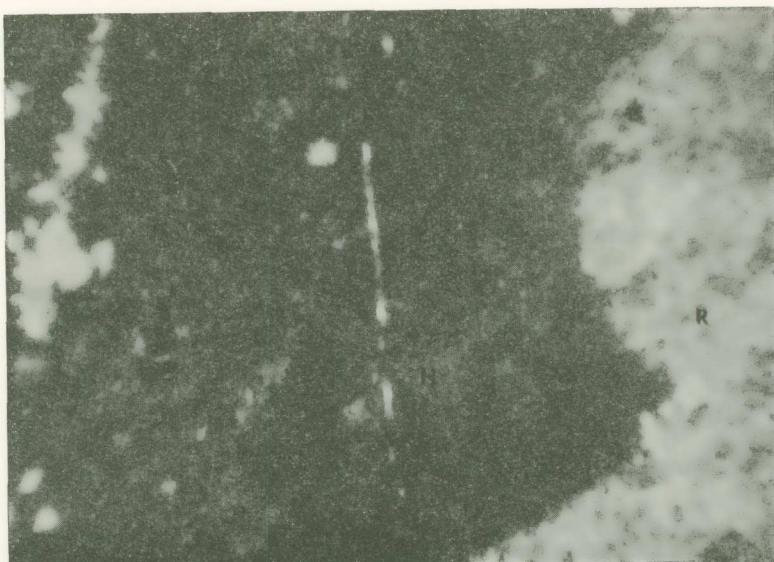
Εἰκ. 5. Φαινόμενον ἀντικαταστάσεως ἐντὸς τοῦ κερατολιθικοῦ ὄλικου. Ασβεστιτικὸν ὄλικόν (Α) «ἀντικαθιστᾶ» SiO_2 - ὄλικόν (Β). Ἐντὸς τοῦ ἀσβεστιτικοῦ τμήματος διακρίνονται ὑπολείμματα SiO_2 - ὄλικοῦ (C) (Nicols +, 130 X).



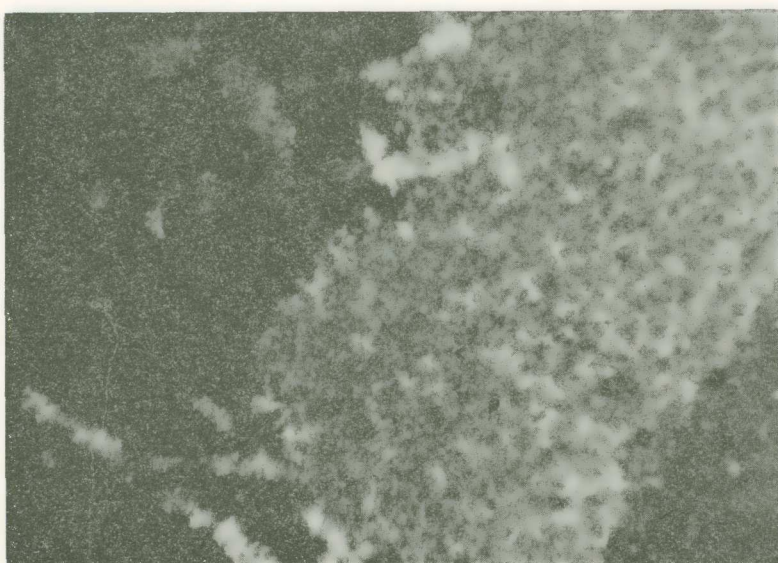
Εἰκ. 6. Μικρορήγμα «τροφοδοσίας» ὄλικοῦ ἐντὸς τοῦ κερατολίθου. Η ἔστια αὐξήσεως τοῦ SiO_2 - ὄλικοῦ συνδέεται πάντοτε μὲ μικρορήγματα



Εἰκ. 7. Ρῆγμα πεπληρωμένον δι' ἀσβεστιτικοῦ ὄλικοῦ, ἀρχομένου ἐκ τῆς λευκῆς ἐπιφλοιώσεως (R) καὶ καταλήγον εἰς τὸν κερατόλιθον (H) (Nicol's +, 43 X).



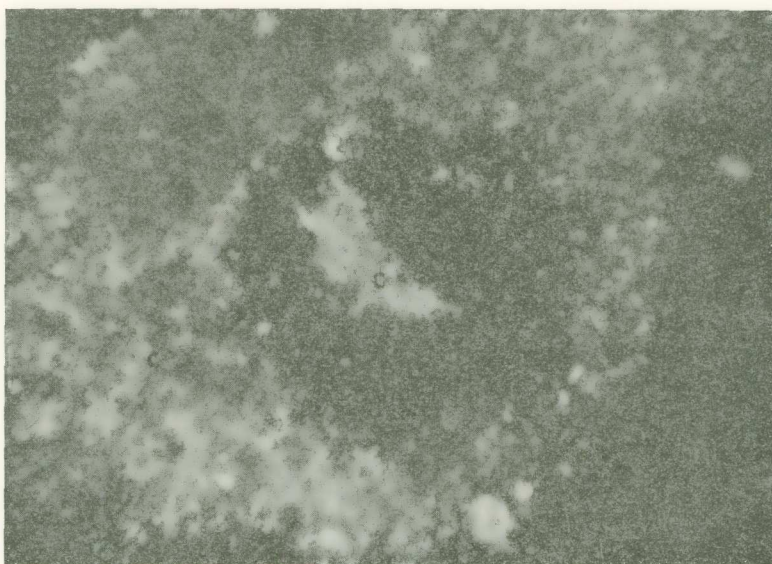
Εἰκ. 8. Η φωτογραφία δεικνύει διατηρούμενα ὑπολείμματα ὁργανισμῶν (Τρηματοφόρα, F) ἐντὸς τοῦ κερατολιθικοῦ φακοῦ (H). Διακρίνεται ἐπίσης ἡ μεταβατικὴ ζώνη (R, λευκὴ ἐπιφλοιώσις) μεταξὺ καθαροῦ ἀσβεστολίθου καὶ κερατολιθικοῦ φακοῦ.



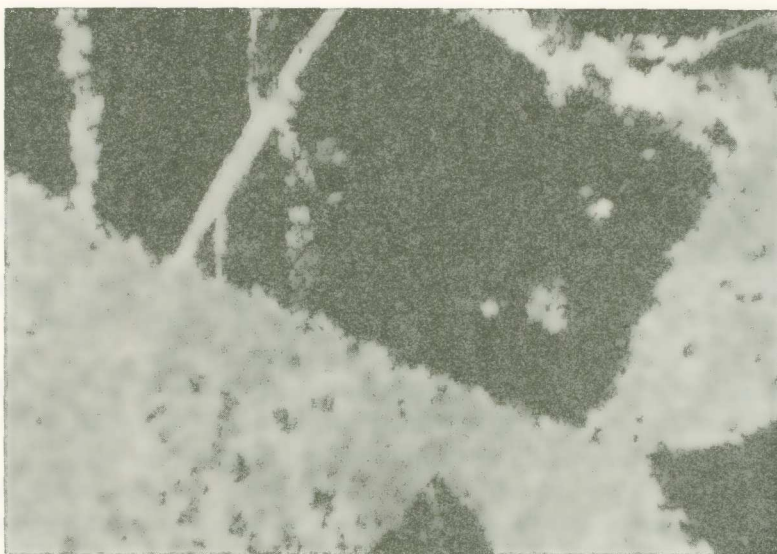
Εἰκ. 9. Ἡ φωτογραφία δεικνύει τὶς τρεῖς ζῶνες: H = κερατολιθικός φάκος, R = λευκὴ ἐπιφλοίωσις, K = ἀσβεστόλιθος. Διακρίνονται ἐπίσης σαφῶς μικρορηγματώσεις πεπληρωμέναι δι' ἀσβεστιτικοῦ ὄλικοῦ, αἱ δποῖαι ἀρχόμεναι ἐκ τοῦ R εἰσέρχονται ἐντὸς τοῦ H (Nicols +, 45 X).



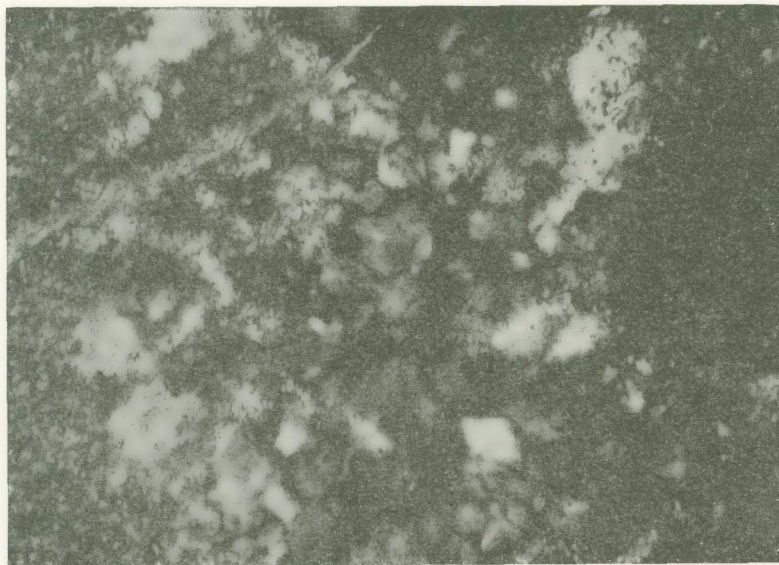
Εἰκ. 10. Ἡ φωτογραφία δεικνύει δύο γενεὰς «τροφοδοσίας» ὄλικοῦ διὰ μέσου τῶν μικρορηγματώσεων. Παλαιότερον, ἀλλὰ διὰ τῆς αὐτῆς ὁδοῦ τὸ πυριτικὸν ὄλικόν (H), ἀκολουθεῖ δὲ ὡς νεώτερον ἀσβεστιτικὸν (C). Τὸ τελευταῖον παρουσιάζει τεκτονικὴν καταπόνησιν (γραμμοσκιώσεις ἐκ πιέσεως) (Nicols +, 130 X).



Εικ. 11. Γενεαὶ ἀντικαταστάσεως: 1. Ἀσβεστίτης ἀντικαθιστῷ SiO_2 -ύλικόν. 2. SiO_2 -ύλικόν, ἀντικαθιστῷ ἀσβεστιτικὸν ύλικόν. (Nicol +, 120 \times).



Εικ. 12. Φαινόμενον ἀντικαταστάσεως ύλικοῦ ἐντὸς τοῦ κερατολιθικοῦ ύλικοῦ. Ἀσβεστιτικὸν ύλικόν, τὸ ὅποῖον ἐκινήθη διὰ μέσου μικρορηγματώσεων, ἀντικαθιστῷ SiO_2 -ύλικόν, τὸ ὅποῖον κυριολεκτικῶς «ἀπομονοῦται». (Nicol +, 96 \times).



Εἰκ. 13. Μεγέθυνσις ἔστιας ἀναπτύξεως πυριτικοῦ ὄλικοῦ. Τὸ πυριτικὸν ὄλικὸν παρουσιάζεται μὲ κελυφοειδῆ ἐπιφάνειαν καὶ εἶναι περισσότερον ἄμορφον - κρυπτοκρυσταλλικόν. (Nicol +, 320 ×).

ΒΙΒΛΙΟΓΡΑΦΙΑ

- F. W. Barth - C. W. Correns - P. Eskola, Die Entstehung der Gesteine Springer-Verlag (1970), 186 - 209, 246 - 262.
- R. G. C. Bathurst, Depth indicators in sedimentary carbonates. Marine Geology, 5 (1967), 447 - 471.
- H. J. Bissel - G. V. Chillingar, Classification of carbonate sedimentary rocks (In: Carbonate rocks). Elsevier Publ. Co. (1967), 87 - 168.
- M. Black, Coccolithen. Endeavour, 24 (93) (1965), 131 - 137.
- P. D. Blackmon - R. Todd, Mineralogy of some foraminifera as related to their classification and ecology. J. Paleontology, 33 (1959), 1 - 15.
- R. Bowen, Paleotemperatur analysis. Elsevier - Amsterdam, 1966.
- M. N. Bramlette - E. Martini, The great change in calcareous nannoplankton fossils between Maastrichtien and Danien. Mikropaleontology, 10 (1964), 291 - 322.
- R. Brinkmann, et al., Lehrbuch der allgemeinen Geologie, Bd. I (1964), 213 - 218, Ferd. Enke Verl., Stuttgart.
- , Lehrbuch der allgemeinen Geologie, Bd. III (1967), 171 - 211, Ferd. Enke Verl., Stuttgart.

- T. P. Burnaby, The paleoecology of the foraminifera of the Chalk. Paleontology, **4** (1961), 599 - 608.
- A. V. Carozzi, Microscopic sedimentary petrography. Wiley and Sons (1960), N. York, 485
- P. Celet, Contribution à l'étude géologique du Parnasse-Kiona et d'une partie des régions méridionales de la Grèce continentale. Ann. Géol. Pays Hell., Athènes **13** (1962) 1963, XXV, 446.
- G. V. Chillingar - H. J. Bissel - K. H. Wolf, The diagenesis of carbonate rocks (in: Diagenesis in Sediments). Amsterdam, Elsevier Publ. Co. (1961).
- G. V. Chillingar - H. J. Bissel - R. W. Fairbridge, Carbonate rocks. Vol. I + II, Amsterdam, Elsevier Publ. Co. (1967).
- W. S. Cole, Foraminifera (in: Paleoecology). Geol. Soc. Amer. Memoir **67**, **2** (1957), 757 - 762.
- E. C. Dappes, The behavior of silica in diagenesis (in: silica in diagenesis), Soc. Econ. Paleont. Min. Spec. Publ., **7** (1959), 36 - 54.
- G. Deflandre, Mikrofossiles des Silex Crétacés. Ann. de Paläont., **25** (1937), 151 - 191.
- S. Epstein - R. Buchsbahn - H. Lowenstam - H. C. Urey, Revised carbonate - water isotopic temperature scale. Geol. Soc. Amer. Bull., **64** (1953).
- D. E. Ferray - E. Heuer - W. G. Hewatt, Biological, genetic and utilitarian aspects of limestone classification (in: Classification of carbonate rocks). Amer. Ass. Petr. Geol., Mem. **1** (1962), 20 - 32.
- E. Flügel, Elektronmikroskopische Untersuchungen an mikritischen Kalken. Geol. Rdsch., **56** (1967), 341 - 358.
- R. L. Folk, Classification of limestones. Bull. of the Amer. Petr. Geol., I, **43** (1962), 1 - 38, Tulsa.
- H. Füchtbauer - G. Müller, Sediment-Petrologie. Teil II (Sedimente und Sedimentgesteine). E. Schweizerbart'sche Verlagsbuchh., Stuttgart 1970.
- W. Engelhardt, Sediment - Petrologie. Teil III (Die Bildung der Sedimente) E. Schweizerbart'sche Verlagsbuchh., Stuttgart 1974.
- B. M. Funnel, Foraminifera and radiolaria as depth indicators in the marine environment. Marine Geology, **5** (1967), 333 - 347.
- W. D. Grimm, Ausfällung von Kieselsäure in salinär beeinflussten Sedimenten. Ztschr. dt. geol. Ges., **114** (1964), 590 - 619.
- T. F. Grimsdale - Van Markhoven - F. P. C. M., The ratio between pelagic and benthonic foraminifera as a means of estimating depth of deposition of sedimentary rocks. World Petr. Congr. Proc., 4th Rome, 1/D (1955), 473 - 491.
- K. Gripp, Kritik und Beitrag zur Entstehung der Kreide - Feuersteine. Geol. Rdsch., **42** (1954), 248 - 262.

- J. H. Hellmers, Der Vorgang der Verkieselung Abh. geol. L. A., Berlin, N. F., H. **128** (1949), 3 - 15.
- S. Honjo - A. G. Fischer, Fossil coccoliths in limestone examined by electron microscopy. Science, **144**, No 1620 (1964), 837 - 839.
- J. D. Hudson, Speculations of the depth relations of calcium Carbonate solution in recent and ancient seas. Marine Geol., **5** (1967), 473 - 480.
- H. Illies, Über die erdgeschichtliche Bedeutung von Konkretionen. Ztschr. dt. geol. Ges., **101** (1949), 95 - 98.
- , Zur Diagenese der südbaltischen Schreibkreide. Geol. Fören. Stokh., Förh. **71** (1949), 41 - 50.
- E. Kamptner, Coccolithineen - Skelettreste aus Tiefseeablagerungen des pazifischen Ozeans. Ann. d. naturh. Mus. Wien, **66** (1963), 199 - 204.
- D. Krinsley - T. Takahashi, Applications of electron microscopy to geology. Akad. Sci., N. York, Trans. Ser. 2, **25** (1962), 3 - 22.
- H. Lechner, Zur Geologie des Gebietes nördlich von Uzunkuyu, Halbinsel Karaburun, Westanatolien. Diplomarb., Geol. Inst. T. U. München, 81 s., 33 Abb., 2 Beilagen, München 1969.
- K. Mägdefrau, Paläobiologie der Pflanzen. 4. Auflage, Gustav Fischer Verlag Stuttgart 1968, 359 - 368.
- A. H. Müller, Diagenetische Untersuchungen in der obersenonen Schreibkreide von Rügen. Abhauatl. d. geol. Dienstes, N. F., H. 228, 1951 (S. a. Ber. d. geol. Ges., **1**, 136 - 146) 1956.
- , Die Knollenfeuersteine der Schreibkreide, eine frühdiagenetische Bildung. Ber. dt. Geol. Ges., **2** (1957), 158 - 164.
- H. Nestler, Die Rekonstruktion des Lebensraumes der Rügener Schreibkreide - Fauna. Geologie, Beiheft **49**, Berlin (1965).
- S. E. Papastawrou, Einige Bemerkungen zur Relation zwischen Verkarstungsbahnen und Längserstreckung der Bauxitlager bei Sidiporto-Bela, Gjona - Gebirge. Sci. Ann. Fac. Phys. & Math., **14**, 99 - 111, Univ. Thessaloniki (1974).
- , Zur Tektonik und Lithofacies des Hangenden einiger Bauxitlagerstätten im Parnass - Gjona Gebiet/Griechenland. Travaux I. S. CO. B. A., **11** (1974), 35 - 59, Akad. Yougoslave d. Sci. et des Arts.
- S. E. Papastawrou - G. Bardossy, Stratigraphisch - mineralogische Untersuchung der Bauxite von Katsika, Halbinsel Chalkidike - Griechenland. (im Druck bei der Ung. Akad. der Wiss, 1976).
- R. A. Ryment, Introduction to Paleoecology. Amsterdam, Elsevier - Publ. Co. (1971), 226.
- W. Schäffer, Biozönose und Biofacies im marinen Bereich Aufs. Red. sencenberiana, naturh. Ges., **11** (1963), 1 - 37.

- F. D. Schmidt, Planktonic foraminifera as indicator of depositional environment. *Mikropaleontology*, **1** (1955), 147 - 151.
- B. Sikosek - W. Medwentsch, Neue Daten zur Facies und Tektonik der Dinariden. *Verh. Geol. B. A., Sh. G.*, Wien (1965), 86 - 192.
- A. Tollmann, Ostalpensynthese. VIII + 256 s., 22 Abb., 11 Taf. (Deuticke), Wien 1963a.
- _____, Tektonische Karte der nördlichen Kalkalpen. 2. Teil., *Mitt. Geol. Ges. Wien*, **61** (1968), 124 - 181, Taf. 1, Wien, 1969.
- E. Voigt, Zur Temperaturkurve der äußeren Kreide in Europa. *Geol. Rdsch.*, **54** (1964), 270 - 317.
- W. Wetzel, Versuch einer quantitativen Erfassung des Oberkreide - planktons. *Paläont. Zeitschr.*, **39** (1965), 240 - 248.